

DE変換公式と補外法を用いて 振動的関数の積分を計算する方法に関する一考察

筑波大 電子情報 杉原正顯 (Masaoaki Sugihara)

1.はじめに

1970年代以降、二重指數型関数変数変換数值積分公式（以下DE変換公式と略す）は、高橋、森らによって、解析関数の数值積分公式として提案された[1]。その後、この公式は、多くの解析関数の数值積分に応用され、広範な解析関数の積分に対して非常に有効であるとの評価を得た。しかし、同時に、DE変換公式が必ずしも良い結果を与えない一連の積分問題の存在も明らかとなってきた。その一つが、 $\int_0^\infty \frac{\sin x}{x} dx$ 等の振動的関数の半無限区間での積分問題である。

この種の積分問題に対して、戸田、小野は、被積分関数へ直接DE変換を用いるのではなく、積分 $\int_0^\infty f(x) dx = \lim_{a \downarrow 0} \int_0^\infty e^{-ax} f(x) dx$ (一種の級数法による) と解釈し、 $\int_0^\infty e^{-ax} f(x) dx$ をDE変換公式を用いて計算し、その結果を用いて $a \rightarrow 0$ への補外を行うことにより、て、積分 $\int_0^\infty f(x) dx = \lim_{a \downarrow 0} \int_0^\infty e^{-ax} f(x) dx$ を求める“DE変換公式と補外法を用いる数值計算法”を提

筆者 [2]。そして、半ば実験的 $K = \int_0^\infty \frac{\cos(x)}{\sqrt{x}} dx, \int_0^\infty \frac{\sin(x)}{3 \cdot x^{2/3}} dx$
 $= \int_0^\infty \sin(x^3) dx, \int_0^\infty \frac{\cos(x) - \cos(2x)}{x} dx$ 等 DE 変換公式と補外法を用い
 て数値計算法を適用して——この方法の有効性を示した。

そこで、本研究においては、まず、上記の DE 変換公式と
 補外法を用いる方法が、何故 $\int_0^\infty \frac{\sin x}{x} dx$ 等に有効であるのか
 を理論的に解明する。そして、上記の方法が有効であるとする
 は積分問題を明確にする。さらに、これまで得られた知見
 をもとに、積分 $\int_0^\infty f(x) dx \approx \lim_{a \rightarrow 0} \int_0^\infty e^{-ax^2} f(x) dx$ と解釈し、
 $\int_0^\infty e^{-ax^2} f(x) dx$ に DE 変換公式を適用し、 $a \rightarrow 0$ の補外を行
 う方法について考察し、数値実験を通して、この方法が、もと
 の（戸田、小野による）DE 変換公式と補外法を用いる方法よ
 り、より有効であることを示す。

2. 戸田、小野による DE 変換公式と補外法を用いた数値積 分法のアルゴリズムとその有効性に関する理論的问题

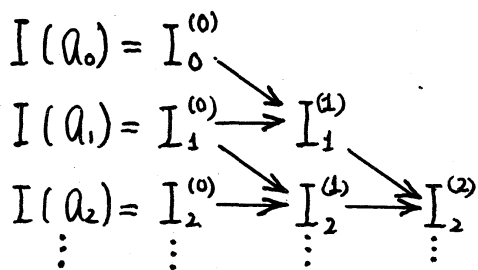
戸田、小野による DE 変換公式と補外法を用いた数値積分
 法的具体的アルゴリズムは、以下のようである。

- (1) $I(a_n) \triangleq \int_0^\infty e^{-a_n x} f(x) dx = \int_0^\infty \frac{1}{a_n} e^{-t} f\left(\frac{t}{a_n}\right) dt, a_n = \frac{1}{2^n} (n=0, 1, \dots, N)$ を
 DE 変換 $t = \exp(y - \exp(-y))$ を用いて、台形則で計算する。

(2) $I_n^{(0)} \triangleq I(a_n)$ として、次 a より 3 の scheme に従って、 $a_n \rightarrow 0$ への補外 (Richardson 補外) を行う。

$$I_{m+1}^{(m+1)} = \frac{2^{m+1} I_{m+1}^{(m)} - I_m^{(m)}}{2^{m+1} - 1}$$

$$(m \geq 0, n \geq 0)$$



(3) $I_N^{(N)}$ を $\int_0^\infty f(x) dx$ の近似値とする。

このアリエリズムを見れば、明らかにようく、 $\int_0^\infty \frac{\sin x}{x} dx$ 事の積分問題に対するこのアリエリズムの有効性を議論する場合、理論上問題となるのは次の 3 点である。

i) $\lim_{n \rightarrow \infty} I(a_n) = \int_0^\infty f(x) dx$ は成立するのか。

ii) $\int_0^\infty \frac{1}{a_n} e^{t/a_n} f(t/a_n) dt$ に、DE 変換 $t = \exp(y) - \exp(-y)$ を施し。

て、台形則を用いて時の収束の仕方はどのようであるか。

iii) (2) の Richardson 補外は、正当化されるのか。つまり、(2) での補外が $I(a_n) \rightarrow I(0)$ の加速になつてゐるのか。

以下、この 3 つの問題を具体的な問題 $\int_0^\infty \frac{\sin x}{x} dx$ について議論し、そこから得られた結果が $\int_0^\infty \frac{\sin x}{x} dx$ を含むどのような関数族に付けて一般化できるかを考察する。

3. 問題(i), (ii), (iii) について

3.1 問題(i) について

問題(i) については、次の Laplace 変換と関する Abel 型の定理が成立することより、 $\int_0^\infty f(x) dx$ が存在する限り、 $\lim_{n \rightarrow \infty} I(a_n) = \int_0^\infty f(x) dx$ が成立することがわかる。

定理1 (Laplace 変換と関する Abel 型の定理) [3], [4]

$\int_0^\infty e^{-s_0 x} f(x) dx$ ($s_0 \in \mathbb{C}$: 複素数体) が存在するとすると、この時、 $0 \leq \beta < \frac{\pi}{2}$ として、

$$\lim_{s \rightarrow s_0} \int_0^\infty e^{-sx} f(x) dx = \int_0^\infty e^{-sx} f(x) dx$$

$$|\arg(s - s_0)| \leq \beta$$

が成立する。ここで、 $\operatorname{Re} s > \operatorname{Re} s_0$ は s を定して $\int_0^\infty e^{-sx} f(x) dx$ が存在するとして注意せよ。

3.2 問題(ii) について

$\int_0^\infty \frac{\sin x}{x} dx$ の場合には、次の定理2が、問題(ii)を計算する解答を与える。

定理2

$$g(y) = e^{-\varphi(y)} \cdot \frac{\sin(\varphi(y)/a)}{\varphi(y)} \cdot \varphi'(y) \quad (\varphi(y) \stackrel{d}{=} \exp(y - \exp(-y)))$$

すなばく、

$$h \sum_{m=-\infty}^{\infty} g(mh) - \int_{-\infty}^{\infty} g(y) dy = O(e^{-\frac{2\pi}{h}(\tan^{-1}(a) - \varepsilon)}) \quad (h \rightarrow 0),$$

但し、 ε は任意の正数であり、 $O(\cdot)$ の定数は a, ε によらず。

(証明) 基本となるのは、次の Poisson の総和公式 [4], [5], [6] である。

$$h \sum_{m=-\infty}^{\infty} g(mh) - \int_{-\infty}^{\infty} g(y) dy = \sum_{n=0}^{\infty} \int_{-\infty}^{\infty} g(y) e^{i \frac{2\pi n}{h} y} dy.$$

つまり、無限区間 $(-\infty, \infty)$ の積分を計算して台形則を適用した場合の誤差は、この式の右辺の級数で与えられるのである。

まず、 $\int_{-\infty}^{\infty} g(y) e^{i \frac{2\pi}{h} y} dy$ を評価する。 $g(y) = e^{-\varphi(y)} \frac{\sin(\varphi(y)/a)}{\varphi(y)} \cdot \varphi'(y)$ の正則性と注意して左図の図 1. 積分路を用いて $g(y)$ の積分を考える。

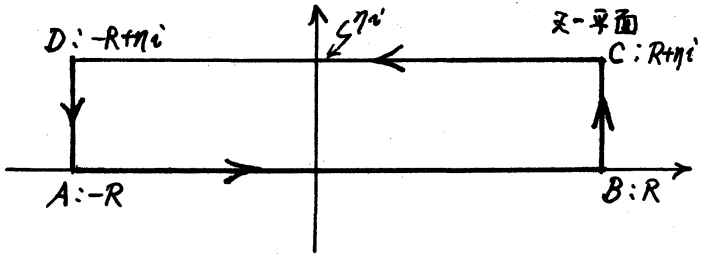


図1. 積分路

\therefore

$$\lim_{R \rightarrow \infty} \int_D^A g(z) e^{i \frac{2\pi}{h} z} dz = 0, \quad \lim_{R \rightarrow \infty} \int_B^C g(z) e^{i \frac{2\pi}{h} z} dz = 0, \quad \lim_{R \rightarrow \infty} \int_{-R}^R |g(\xi + \eta i)| d\xi < +\infty$$

ならば、

$$\begin{aligned} \int_{-\infty}^{\infty} g(y) e^{i \frac{2\pi}{h} y} dy &= - \int_{-\infty}^{\infty} g(\xi + \eta i) e^{i \frac{2\pi}{h} (\xi + \eta i)} d\xi \\ &= - e^{-\frac{2\pi}{h} \eta} \int_{-\infty}^{\infty} f(\xi + \eta i) e^{i \frac{2\pi}{h} \xi} d\xi \\ &= \theta(e^{-\frac{2\pi}{h} \eta}) \end{aligned}$$

となることがわかる。そこで、上記の仮定が満たされたよろは η を求めること。

$g(\xi + \eta i)$ の評価を下すために、最初に $\varphi(\xi + \eta i)$ の計算をする。

$$\begin{aligned} \varphi(\xi + \eta i) &= \exp(\xi + \eta i) - \exp(-\xi - \eta i) \\ &= \exp(\xi - \exp(-\xi) \cos(\eta)) - \{ \cos(\eta + \exp(-\xi) \sin(\eta)) + i \cdot \sin(\eta + \exp(-\xi) \sin(\eta)) \}. \end{aligned}$$

次に、 $g(\xi + \eta i)$ を $\xi \rightarrow \infty$ で評価する。

$$\left| e^{-\varphi(\bar{z}+\eta z)} \frac{\sin(\varphi(\bar{z}+\eta z)/a)}{\varphi(\bar{z}+\eta z)} \cdot \varphi'(\bar{z}+\eta z) \right| = \Theta(e^{-\varphi(\bar{z}+\eta z)} \cdot e^{i\varphi(\bar{z}+\eta z)/a}) \\ = \Theta(\exp[\exp(\bar{z}-\exp(-\bar{z})\cos(\eta)) - \cos(\eta + \exp(-\bar{z})\sin(\eta)) + \frac{1}{a}\sin(\eta + \exp(-\bar{z})\sin(\eta))])$$

従って、十分大きい η のとき

$$-\cos(\eta + \exp(-\bar{z})\sin(\eta)) + \frac{1}{a}\sin(\eta + \exp(-\bar{z})\sin(\eta)) < 0$$

となることは η のとき

$$\lim_{R \rightarrow \infty} \int_B^C g(z) e^{i\frac{-2\pi}{h}z} dz = 0, \quad \lim_{R \rightarrow \infty} \int_0^K |g(\bar{z}+\eta z)| dz < +\infty$$

であることを示す。すなはち η を満たす条件は、十分大きい η のとき $\tan(\eta + \exp(-\bar{z})\sin(\eta)) < a$ と同値であり、これは、 $\eta < \tan^{-1}(a)$ のときに満たされる。

一方、 $\bar{z} \rightarrow -\infty$ のとき、

$$g(\bar{z}+\eta z) = \Theta(\varphi'(\bar{z}+\eta z)) = \Theta(\exp(\bar{z}-\exp(-\bar{z})\cos(\eta)))$$

(もしも $0 \leq \eta < \pi/2$ である場合),

$$\lim_{R \rightarrow \infty} \int_D^A g(z) e^{i\frac{-2\pi}{h}z} dz = 0, \quad \lim_{R \rightarrow \infty} \int_{-R}^0 |g(\bar{z}+\eta z)| d\bar{z} < +\infty.$$

である。

従って、以上の考察から

$$\left| \int_{-\infty}^{\infty} g(y) e^{i\frac{-2\pi}{h}y} dy \right| \leq \int_{-\infty}^{\infty} |f(\bar{z} + (\tan^{-1}(a) - \varepsilon)i)| d\bar{z} \cdot e^{\frac{2\pi}{h}(\tan^{-1}(a) - \varepsilon)}$$

がわかる。

他の $\int_{-\infty}^{\infty} g(y) e^{i\frac{-2\pi}{h}y} dy$ の評価も同様に評価でき、初めに述べた Poisson の総和公式を、それを式代入すれば

$$h \sum_{m=-\infty}^{\infty} g(mh) - \int_{-\infty}^{\infty} g(y) dy = \Theta(e^{-\frac{2\pi}{h}(\tan^{-1}(a) - \varepsilon)}) \quad (h \rightarrow 0)$$

を得る。

この定理2によると、 a を固定する時、DE変換を施して台形則を用いて、 $I(a)$ を求める時の収束の仕方は、台形則の刻み幅を元から $\frac{1}{2}$ にすると精度が桁数 $k+1$ 倍になるよ

うものであることがわかる。

次に、定理2の結果を $\int_0^{\infty} \frac{\cos(x) - \cos(2x)}{x} dx \approx \int_0^{\infty} \text{余弦関数} \cdot \sin(x) dx$
 のような積分問題にも適用できるよと拡張することを考える。

まず、必要な定義を与える。 η を $0 \leq \eta < \frac{\pi}{2}$ として、

$$\mathcal{D}(\eta) \stackrel{\text{def}}{=} \{x + iy \in \mathbb{C} \mid -\infty < x < +\infty, |y| \leq \eta\},$$

$$\varphi(\mathcal{D}(\eta)) \stackrel{\text{def}}{=} \{\varphi(z) \in \mathbb{C} \mid z \in \mathcal{D}(\eta)\}, \quad (\because \text{z} \in \varphi(z) = \exp(z - \exp(-z))).$$

さて R 、 $w \in \mathbb{C}$ に対して、 $p(w)$ を次のようく定義す。

$$p(w) \stackrel{\text{def}}{=} \sup_{\substack{0 \leq \eta < \frac{\pi}{2} \\ w \notin \varphi(\mathcal{D}(\eta))}} \eta$$

この時、次の補題が成立す。

補題3

$$w \notin [0, \infty) \Rightarrow p(w) > 0$$

(証明)

$\mathcal{D}^*(\eta)$ を図の斜線部を示す領域とする。この時、

$\varphi(\mathcal{D}(\eta)) \subseteq \mathcal{D}^*(\eta)$ を証明すれば、

$$p(w) = \sup_{\substack{0 \leq \eta < \frac{\pi}{2} \\ w \notin \varphi(\mathcal{D}(\eta))}} \eta \geq \sup_{\substack{0 \leq \eta < \frac{\pi}{2} \\ w \notin \mathcal{D}^*(\eta)}} \eta$$

であるから、 $w \in [0, \infty) (\in \mathbb{C})$ の時に $\rho(w) > 0$ とはさばく
が容易にわかる ($w \in [0, \infty) \Rightarrow \sup_{\substack{0 \leq \eta < \frac{\pi}{2} \\ w \in \partial^*(\eta)}} \eta > 0$ はあきらかである
から).

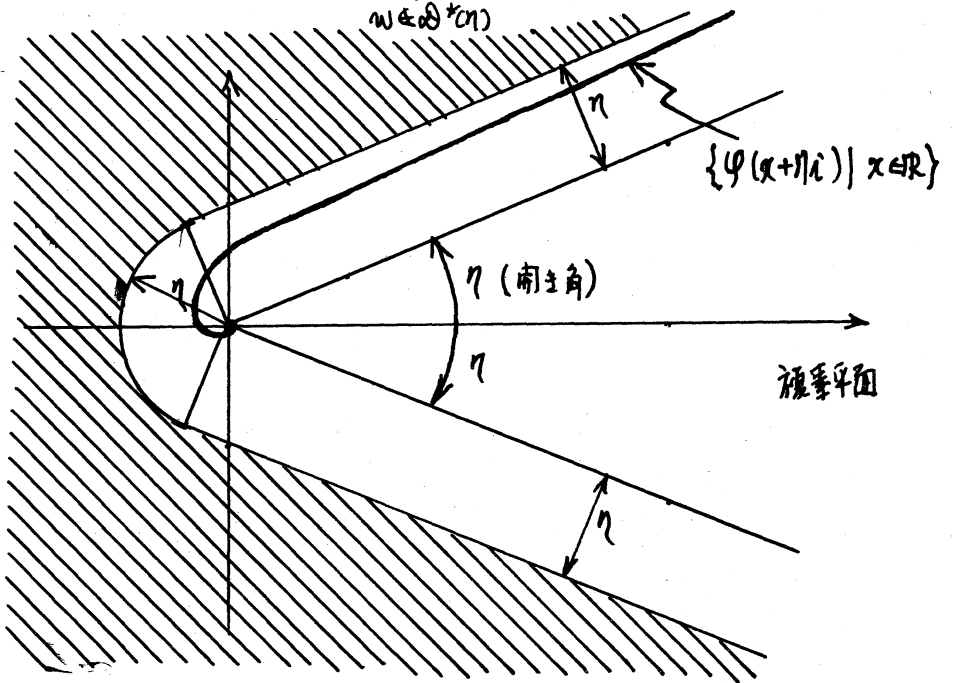


図2. $\partial\Phi^*(\eta)$ の定義 (斜線部以外の領域) と
 $\{\psi(x+\eta i) | x \in \mathbb{R}\}$ の様子.

そこで、以下、 $\psi(\partial\Phi(\eta)) \subseteq \partial\Phi^*(\eta)$ を証明する. ここで、 $\eta' < \eta$
ならば、 $\Phi^*(\eta') \subseteq \Phi^*(\eta)$, と注意すれば、 $\psi(\partial\Phi(\eta)) \subseteq \partial\Phi^*(\eta)$ を
証明するためには、

$$\psi(\partial\Phi(\eta)) \subseteq \partial\Phi^*(\eta)$$

を示すことがければ十分である. さらに、 $\partial\Phi(\eta) = \{x+yi \in \mathbb{C} | -\infty < x < \infty, y = \pm\eta\}$ の実軸に対する対称性に注意すると、

$$\{\psi(x+\eta i) \in \mathbb{C} | -\infty < x < \infty\} \subseteq \partial\Phi^*(\eta)$$

が成立すれば、十分であることがわかる.

上記の $\psi(x+\eta i) \in \mathbb{C}$ を極座標で表わすと

$$r = \exp(x - \exp(-x) \cos(\eta))$$

$$\theta = \eta + \exp(-x) \cdot \sin(\eta)$$

とねえ。ここで、 r が x の単調増加関数であること、および、
 θ が x の単調減少関数であること、 $\lim_{x \rightarrow \infty} r(x) = \infty$, $\lim_{x \rightarrow -\infty} r(x) = 0$, $\lim_{x \rightarrow \infty} \theta(x) = \eta$, $\lim_{x \rightarrow -\infty} \theta(x) = +\infty$ を用いると、次の2つ:

- (i) $\theta(x) = \eta + \frac{\pi}{2}$ とねえ x に対して、 $r(x) < \eta$,
(ii) $\eta < \theta(x) \leq \eta + \frac{\pi}{2}$ とねえ x に対して、 $r(x) \cdot \sin(\theta(x) - \eta) < \eta$,
が成立すれば、 $\{\varphi(x+\eta i) \in \mathbb{C} \mid -\infty < x < +\infty\} \subseteq \Phi^*(\eta)$ がわかる。

(i) は $\theta(x) = \eta + \frac{\pi}{2} \Leftrightarrow \exp(-x) \sin(\eta) = \frac{\pi}{2} \Leftrightarrow x = -\log\left(\frac{\pi}{2} \sin(\eta)\right)$ で
あることより、 $r(x) = r\left(-\log\left(\frac{\pi}{2} \sin(\eta)\right)\right) = \frac{2}{\pi} \sin(\eta) \cdot \exp\left(-\frac{\pi}{2} \cot(\eta)\right) < \eta$
がわかる、成立する。 (ii) については、 $\theta(x) = \eta + \alpha$, ($0 < \alpha \leq \pi/2$)
とすると、この時、 $x = -\log\left(\frac{\alpha}{\sin(\eta)}\right)$ で、 $r\left(-\log\left(\frac{\alpha}{\sin(\eta)}\right)\right) =$
 $\frac{\sin(\eta)}{\alpha} \cdot \exp(-\alpha \cot(\eta))$, 従って $r\left(-\log\left(\frac{\alpha}{\sin(\eta)}\right)\right) \cdot \sin \alpha \equiv \sin(\eta) < \eta$ で
なり、成立する。以上で補題は証明された

□

補題 3a もとく、次の定理 4 が証明である。

定理 4

$f(t), P(t)$ を実数 t 対応させる関数とし、次が成立するとする。

$$(i) A(t) \triangleq \iint_D w(x, y) e^{it(x+y)} d\mu(x, y)$$

ここで、 D は集合 $\{(x, y) \in \mathbb{R}^2 \mid y \geq 0\}$ に含まれる

有界な集合。 $\mu(x, y)$ は D で定義された測度で、

$$\iint_D |w(x, y)| d\mu(x, y) < +\infty$$

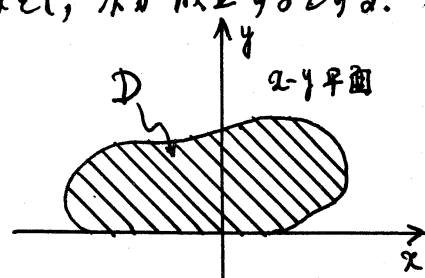


図3. 指分領域 D

- (ii) $h(z)/z^n$ ($n \geq 0$: 整数) は 整函数.
- (iii) $P(t)$ は、代数函数で、 $t \in [0, \infty)$ で 特異点をもたず、
 $\lim_{t \rightarrow \infty} |P(t)| < +\infty$ とする. 又, $P(t)$ の 有限の特異点を w_1, \dots, w_N とす.
- (iv) $\int_0^\infty P(t) \frac{h(t)}{t^{n+\nu}} dt$ ($\nu > -1$) が 存在する とする.

この時, $g(y) = e^{-\varphi(y)} \cdot P(\varphi(y)/a) \cdot \frac{h(\varphi(y)/a)}{(\varphi(y)/a)^{n+\nu}} \cdot \frac{\varphi'(y)}{a}$, $\varphi(y) = \exp(y - \exp(-y))$
 とす,

$$h \sum_{m=-\infty}^{\infty} g(mh) - \int_a^\infty g(y) dy = O(e^{-\frac{2\pi}{h}(d-\varepsilon)}), \quad (h \rightarrow 0),$$

ここで, ε は 任意の 正数,

$$d = \min(\tan^2(\frac{\pi}{d}), \rho(a w_1), \dots, \rho(a w_N)) > 0,$$

$$d = \max\{|x| | x+iy \in D\}.$$

(証明)

$$\begin{aligned} |h(\varphi(z+\eta i)/a)| &\leq \iint_D |w(x,y)| e^{\frac{1}{a}(\operatorname{Re}\varphi(z+\eta i)+i\operatorname{Im}\varphi(z+\eta i))(x+iy)} d\mu \\ &\leq \iint_D |w(x,y)| e^{\frac{1}{a}(-\operatorname{Re}\varphi(z+\eta i)\cdot y - \operatorname{Im}\varphi(z+\eta i)\cdot x)} d\mu \\ &\leq e^{\frac{d}{a}\operatorname{Im}\varphi(z+\eta i)} \cdot \iint_D |w(x,y)| d\mu \end{aligned}$$

K 注意し, さる K $P(\cdot)$ の 定義より, $\Phi(d) \ni y \in P(\varphi(y)/a)$ が 正則
 であることを用いれば, 証明は 定理2とほとんど 同じである.
 なお, $d > 0$ は, 補題3K よる.

この定理4から, \int_0^∞ 代数函数 $\cdot \sin(x) dx$ 等の 場合には, $\int_0^\infty \frac{\sin(x)}{x} dx$
 と 連れて, 代数函数の 特異点の 齧子を 考える 必要があることか

わかる。殊に、正の実軸に近い特異点をもつ代数関数が含まれるような場合には、積分の収束が、非常に遅くなることがある。なお、定理4の $p(\cdot)$ は、計算が大変であるので、代りに

$$p^*(w) = \sup_{\begin{subarray}{l} 0 \leq \eta < \frac{\pi}{2} \\ w \notin \Phi^*(\eta) \end{subarray}} \eta$$

を用いて、 $d^* \triangleq \min \left\{ \tan^{-1}\left(\frac{a}{d}\right), p^*(aw_1), \dots, p^*(aw_N) \right\}$ を計算し、 α に対する下からの評価(近似)を得ることもできる(γ ね $\alpha \geq d^* \kappa$ 注意)。

《注意》

定理4は、Bessel関数 $J_\lambda(z)$ で

$$J_\lambda(z) = \frac{1}{\sqrt{\pi} \Gamma(\lambda + \frac{1}{2})} \left(\frac{z}{2}\right)^\lambda \int_0^1 (1-t^2)^{\lambda-\frac{1}{2}} e^{izt} dt, \lambda > -\frac{1}{2}$$

と書ける。この注意すれば、 \int_0^∞ 代数関数 $\cdot J_\lambda(x) dx$ $\kappa \gamma n^2 t$ 適用可能である [7]。

3.3 例題について

$I(a) \triangleq \int_0^\infty e^{-ax} \frac{\sin x}{x} dx$, $a > 0$ で、 a の漸近展開可能なれば、 $I(a_0), I(a_1), \dots, I(a_N)$ が Richardson補外を適用して、 $I(a)$ ($n=1, \dots, N$) へ収束を加速するこれが出来た。

数学公式集(例えば、[7]) では、

$$I(a) = \int_0^\infty e^{-ax} \frac{\sin x}{x} dx = A \operatorname{atan}(\frac{1}{a}), \operatorname{Re} a > 0$$

とは、ており、 $I(a)$ の $a \rightarrow 0$ における状況は、直接的には、この公式からは、判明しない。しかし、 $a \in \mathbb{R}, a > 0$ で $\operatorname{Actam}(\frac{1}{a}) = \frac{\pi}{2} - \operatorname{Actam} a$ であること、また、 $|a| < 1$ で $\operatorname{Actam} a = a + \frac{a^3}{3} + \frac{a^5}{5} + \dots$ を用いると、前記の $I(a)$ の公式が

$$I(a) = \frac{\pi}{2} - \left(a + \frac{a^3}{3} + \frac{a^5}{5} + \dots \right) \quad \operatorname{Re} a > 0, |a| < 1$$

わかる。従って、この式からわかるよしと、 $I(a)$ は、原点を中心とする収束半径 1 をもつ中級数（正則関数）と解析接続である。故に、初め述べたよしと、 $I(a_0), I(a_1), I(a_2), \dots, I(a_N)$ は Richardson補外と用ひよしが正当化される。ただし、 $I(a)$ の $a \rightarrow 0$ の状況は、 a が中級数と展開可能といふことである。

文献[2]において、数値実験において、使用された他の関数についても、

$$\int_0^\infty e^{-ax} \frac{\cos(x)}{x^{v-1}} dx = \frac{\Gamma(v)}{2} \left[\frac{1}{(a+i)^v} + \frac{1}{(a-i)^v} \right],$$

$$\int_0^\infty e^{-ax} \frac{\sin(x)}{x^{v-1}} dx = \frac{i\Gamma(v)}{2} \left[\frac{1}{(a+i)^v} - \frac{1}{(a-i)^v} \right],$$

$$\int_0^\infty e^{-ax} \frac{\cos(x) - \cos(2x)}{x} dx = \frac{1}{2} \log \frac{a^2 + 2^2}{a^2 + 1^2}, \quad v > 0, \operatorname{Re} a > 0$$

となる（[7]）より、上記の場合と同様に、 $I(a)$ が、原点を中心とする収束半径 1 をもつ中級数と解析接続でき、Richardson補外が正当化である。

次に、これらの結果をより広い関数族に対して拡張する。

前記の一連の例において、何故 $I(a)$ が原点を中心とする收束半径 1 をもつ中級数に解析接続できるのかを解析するべくよ，て，次の定理 5 を得る。

定理 5

$w(t), P(t)$ を実数に実数値を対応させる関数とし，次が成立するとする。

$$(i) \quad h(t) \stackrel{d}{=} \iint_D w(x, y) e^{nt(x+y)} d\mu(x, y).$$

ここで D は右図のよろな領域 (EE'LL' 境界を含む) とし， $\mu(x, y)$ は D 上の

σ -有限測度. また $\iint_D |w(x, y)| d\mu(x, y) < +\infty$ とする.

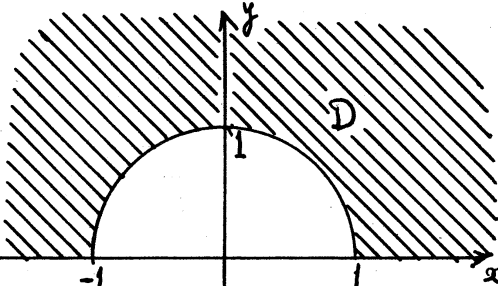


図4. 指定領域 D

(ii) $P(t)$ は $[0, \infty)$ 上に特異点をもたない代数関数とする。

(iii) $I(a) \stackrel{d}{=} \int_0^\infty e^{-at} \cdot t^{\nu} h(t) \cdot P(t) dt$ は, $a > 0$ の時に存在するとする。

(iv) ある整数 N_0 が存在して, N_0 以上の任意の整数 n に対して $a > 0$ の時, $\int_0^\infty \iint_D |w(x, y)| t^{\nu+n} |e^{nt(x+y)}| e^{-at} d\mu(x, y) dt < +\infty$ とする。

この時, $I(a)$ は原点を中心として, 收束半径 1 をもつ中級数に解析接続できる。

なお, (iii) から $I(a)$ は $\operatorname{Re} a > 0$ で解析的であることに注意せよ。

(証明)

条件(iii)下で、 $I(a)$ は $\operatorname{Re} a > 0$ で解析的であることを示す。

$$\frac{d^n}{da^n} I(a) = \int_0^\infty (-1)^n e^{-at} \cdot t^{v+n} h(t) P(t) dt$$

であることを示す。

従って、 $b > 0$ は 3 点の近傍で、 $I(a)$ は次のように Taylor 展開できる。

$$I(a) = \sum_{n=0}^{\infty} \frac{\frac{d^n}{da^n} I(a)|_{a=b}}{n!} (a-b)^n,$$

$$\frac{d^n}{da^n} I(a)|_{a=b} = \int_0^\infty (-1)^n e^{-bt} t^{v+n} h(t) P(t) dt.$$

以下、 $\frac{d^n}{da^n} I(a)|_{a=b}$ を評価する。
このとき、 $I(a)$ が原点を中心とする收束半径 1 の中級数(正則関数)で解析接続できると言える。まず、(iv), (ii) より、任意の $n \geq N_0$ に対して

$$\begin{aligned} \left| \frac{d^n}{da^n} I(a) \right|_{a=b} &= \left| \int_0^\infty (-1)^n e^{-bt} t^{v+n} h(t) P(t) dt \right| \\ &= \left| \int_0^\infty t^{v+n} P(t) e^{-bt} \iint_D w(x,y) e^{it(x+y)} d\mu(x,y) dt \right| \\ &= \left| \iint_D w(x,y) \left(\int_0^\infty t^{v+n} \cdot P(t) e^{it(x+y)-bt} dt \right) d\mu(x,y) \right|. \end{aligned}$$

ここで、 $A > 0, B > 0, k > 0, L > 0$ が存在して ($n \geq N_0$ のときは必ずしも)、

$$\left| \int_0^\infty t^{v+n} P(t) e^{it(x+y)-bt} dt \right| \leq A \frac{\Gamma(n+v+k+1)}{|(b+y)-ix|^{n+v+k+1}} + B \cdot L^{n+v+k}$$

を示す。また、 $P(t)$ の有限の特異点を w_1, \dots, w_N とする時、 $L \leq \max_{j=1 \dots N} (|w_j| + 1)$ で定義する。そして、 $f(z) = \sum_{n=0}^{v+n} P(z) e^{-z(b+y)-iz}$ を図 5 のよろづな分枝上で考える。ここで、 $f(z)$ の有限の分歧点

と無限遠点を結ぶカットは、領域 $\{z \in \mathbb{C} \mid |z| \geq L \wedge \operatorname{Re} z \geq 0\}$ をさけて通るように入れてあること注意せよ。

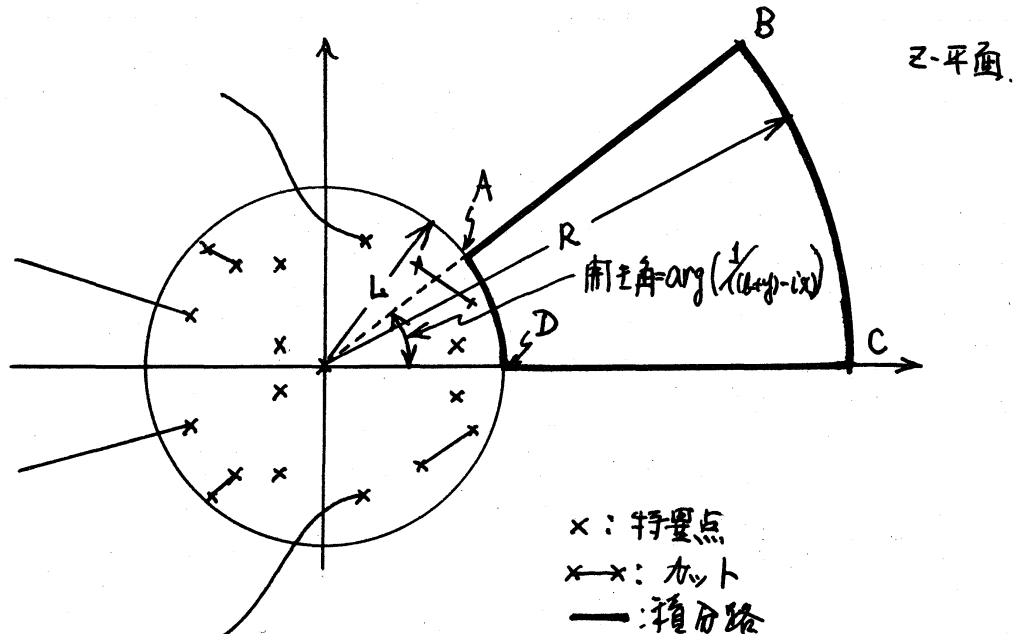


図5. $f(z) = z^{v+n} P(z) e^{-t(z+y)-ix}$ の積分を参考に積分と積分路ABCDA.

積分を次のようく2つに分けて、以下、評価を行っていく。

$$\left| \int_0^\infty t^{v+n} P(t) e^{-t(z+y)-ix} dt \right| \leq \left| \int_0^L f(t) dt \right| + \left| \int_L^\infty f(t) dt \right|$$

右辺第一項は、容易にわかるようく

$$\left| \int_0^L f(t) dt \right| \leq L^{v+n+1} \cdot \max_{0 \leq t \leq L} |P(t)|$$

と評価できる。右辺第二項については、まず、 $f(z)$ が積分路 ABCDA で積分し、Cauchy の定理（正則な領域中の閉曲線上の積分はゼロ）を用いると、次の評価を得る（図5.参照）

$$\left| \int_L^R f(t) dt \right| \leq \left| \int_{AD} f(z) dz \right| + \left| \int_{BC} f(z) dz \right| + \left| \int_{DC} f(z) dz \right|$$

∴ の右辺が一項、左辺は

$$\left| \int_{\widehat{AD}} f(z) dz \right| \leq 2\pi L^{v+n+1} \cdot \max_{|z|=L} |P(z)|,$$

$$\left| \int_{\widehat{BC}} f(z) dz \right| = o(1/R) \quad (R \rightarrow \infty),$$

と評価できる。今、 $\pm i\zeta$ 、左辺が二項かつ $n=1$ は、次の不等式：

$$\left| \int_{\widehat{PC}} f(z) dz \right| = \left| \int_{((b+y)-ix)\cdot L}^{((b+y)-ix)\cdot R} \frac{\xi^{n+v}}{((b+y)-ix)^{n+v+1}} P\left(\frac{\xi}{((b+y)-ix)}\right) e^{-\xi} d\xi \right|$$

$$\leq \frac{1}{|((b+y)-ix)|^{n+v+1}} \int_0^\infty \xi^{n+v} |P\left(\frac{\xi}{((b+y)-ix)}\right)| e^{-\xi} d\xi$$

$$\leq \frac{A}{|((b+y)-ix)|^{n+v+1+k}} \int_0^\infty \xi^{n+v+k} e^{-\xi} d\xi$$

$\because z^n, |z| \geq L \Rightarrow |P(z)| \leq A|z|^k, k > 0 \therefore \exists \varepsilon$

$$\left(\text{用意}, |\xi| \geq |(b+y)-ix| \cdot L \Rightarrow P\left(\frac{\xi}{((b+y)-ix)}\right) \leq A \frac{|\xi|^k}{|((b+y)-ix)|^k} \right)$$

以上評価を用いて。

$$= \frac{A \cdot P(n+v+k+1)}{|((b+y)-ix)|^{n+v+k}}$$

が成立。従って

$$\left| \int_L^\infty f(t) dt \right| \leq 2\pi L^{v+n+1} \max_{|z|=L} |P(z)| + \frac{A \cdot P(n+v+k+1)}{|((b+y)-ix)|^{n+v+k+1}}$$

故に、以上まとめて

$$\left| \int_0^\infty t^{v+n} P(t) e^{-t((b+y)-ix)} dt \right|$$

$$\leq L^{v+n+1} (2\pi \max_{|z|=L} |P(z)| + \max_{0 \leq t \leq L} |P(t)|) + \frac{A \cdot P(n+v+k+1)}{|((b+y)-ix)|^{n+v+k+1}}$$

$$\leq A \cdot \frac{\Gamma(n+v+k+1)}{|(b+y)-ax|^{n+v+k+1}} + B \cdot L^{n+v+1}$$

\therefore お評価式 $\in 1 \left| \frac{d^n}{da^n} I(a) \right|_{a=0} \mid$ の評価式 μ 代入すると、

$$\begin{aligned} \left| \frac{d^n}{da^n} I(a) \right|_{a=0} &\leq \iint_D |w(x,y)| \left(A \cdot \frac{\Gamma(n+v+k+1)}{|(b+y)-ax|^{n+v+k+1}} + B \cdot L^{n+v+1} \right) d\mu(x,y) \\ &\leq \iint_D |w(x,y)| \left(A \cdot \frac{\Gamma(n+v+k+1)}{(\sqrt{b^2+1})^{n+v+k+1}} + B \cdot L^{n+v+1} \right) d\mu(x,y) \\ &\quad \left(\because \text{C}, |(b+y)-ax| \geq \sqrt{b^2+1} \quad (\forall (x,y) \in D) \in \text{C} \right) \\ &= A \cdot \frac{\Gamma(n+v+k+1)}{(\sqrt{b^2+1})^{n+v+k+1}} + B \cdot L^{n+v+1} \end{aligned}$$

を得る。

今、これら評価式を、 $I(a)$ の収束半径を定める Cauchy-Hadamard の公式に代入すると、

$$\begin{aligned} \text{収束半径} &= \frac{1}{\lim_{n \rightarrow \infty} \sqrt[n]{\left| \frac{d^n}{da^n} I(a) \right|_{a=0} n!}} \\ &\geq \frac{1}{\lim_{n \rightarrow \infty} \sqrt[n]{\frac{A \cdot \Gamma(n+v+k+1)}{m! (\sqrt{b^2+1})^{n+v+k+1}} + B \cdot \frac{L^{n+v+1}}{m!}}} \\ &= \sqrt{(\sqrt{b^2+1})} \end{aligned}$$

となる。従って、 $I(a)$ は、初め述べた Taylor 展開 (L を中心とし 収束半径 $\geq \sqrt{(\sqrt{b^2+1})}$ をもつ) を用いて、原点近傍で解析接続である。ところが、 $b > 0$ は、任意であって、 L ので、 $I(a)$ は、収束半径 1 をもつ中級数 (正則関数) で解析接続であることがわかる。

□

《注意》

1. Bessel関数 $J_\lambda(z)$ は

$$J_\lambda(z) = \frac{1}{\sqrt{\pi} P(\lambda + \frac{1}{2})} \left(\frac{z}{2}\right)^\lambda \int_1^1 (1-t^2)^{\lambda - \frac{1}{2}} e^{itz} dt = \frac{1}{\sqrt{\pi} P(\lambda + \frac{1}{2})} \left(\frac{z}{2}\right)^\lambda \int_{P: w=e^{i\theta}} (1-w^2)^{\lambda - \frac{1}{2}} e^{izw} dw$$

$P: w=e^{i\theta}$
 $0 \leq \theta \leq \pi$

と変形できる。従って、 $\int_0^\infty e^{-at} \cdot \text{代数関数} \cdot J_\lambda(t) dt$ についても、定理5は、適用可能である。

2. 定理5において $\int_0^\infty t^n h(t) \cdot P(t) dt$ の存在は仮定していいこと 注意せよ。例えば、定理5から、 $\int_0^\infty e^{-at} \sin^{2m+1} t dt$ (m : 非負整数) は、原点を中心とする収束半径1をもつ複級数を解析接続可能であることがわかる ($\int_0^\infty \sin^{2m+1} t dt$ は、存在しない)。

4. 戸田、小野による DE 変換公式と補外法を用いた数値積分法に関するまとめ

3. で得られた結果から、本質的に、戸田、小野によるDE 変換公式と補外法を用いた方法が、 $\int_0^\infty \text{代数関数} \times \text{三角関数} dx$ や $\int_0^\infty \text{代数関数} \times \text{Bessel関数} dx$ を計算するのに使用できることがわかる。ただし、厳密には、定理4, 5の条件を満足するとは調べた必要がある。例えば、 $\int_0^\infty \left(\frac{\sin x}{x}\right)^2 dx$ などは、この方法を適用して積分値を計算することは、困難である(アルゴリズムの中の Richardson補外と Aitken補外すれば、どうのであるか)。

5. 新しいアルゴリズムの導入とその有効性について

宇田・小野による文献[2]の中にある、 $\int_0^\infty \frac{\sin x}{x} dx$ に対して、DE変換公式と補外法を適用した数値実験結果をみると、 $\int_0^\infty e^{-ax} \frac{\sin x}{x} dx$ が DE変換公式を用いた時の収束の仕方が、 a の小さいところでは、非常に遅いことがわかる。これは、定理2における結果、数値積分誤差 $\neq O(e^{-\frac{2\pi}{h}\tan(\alpha)})$ より、当然のことといえる。(しかし、定理2の証明をすればわかるように、 $\int_0^\infty e^{-ax} \frac{\sin x}{x} dx$ の代りに $\int_0^\infty e^{-ax^2} \frac{\sin x}{x} dx$ が DE変換公式を適用すれば、数値積分誤差 $\neq O(e^{-\frac{2\pi}{h}})$ となる(0.)の定数は a によると)。そこで、宇田・小野による方法のアルゴリズム(2.参照)の中の(1)を次の(1)'へ代入することによって、宇田・小野の方法より効率のよい方法が得られるのではないかと考えられる。

$$(1)' I(a_n) \stackrel{d}{=} \int_0^\infty e^{-ax^2} f(x) dx = \int_0^\infty \frac{1}{\sqrt{a_n}} e^{-t^2} f\left(\frac{t}{\sqrt{a_n}}\right) dt, a_n = \frac{1}{2^n} (n=1, \dots, N)$$

DE変換 $t = \exp(\frac{1}{2}y - \exp(-y))$ を用いて、台形則で計算する。

以下、宇田・小野のアルゴリズムへ対応して、新しくアルゴリズムについて有効性に関する理論的问题を考察していく。

まず、問題(i)については、宇田・小野のアルゴリズムの場合と全く同じである。

問題(ii)については、3.で導入した $\phi(\alpha)(\mu)$, $\rho(\omega)$ に対応して

$$\psi(\partial(\eta)) \triangleq \{ \psi(z) \in \mathbb{C} \mid z \in \partial(\mu) \}, \text{ ここで } \psi(z) = \exp\left(\frac{1}{z}z - \exp(-z)\right)$$

$$\rho^*(w) \triangleq \sup_{\substack{0 \leq n < \frac{\pi}{2} \\ w \notin \psi(\partial(\mu))}} \eta$$

とおく時、次の定理が成立する。

定理6

$h(t), P(t)$ は定理4と同じ条件を満足するも a を θ 。

$$\text{この時, } g(y) = e^{-4^2(y)} \cdot P\left(\frac{4(y)/\sqrt{a}}{a}\right) \frac{h\left(\frac{4(y)/\sqrt{a}}{a}\right)}{\left(\varphi(y)/\sqrt{a}\right)^{n+1}} \cdot \frac{\varphi'(y)}{\sqrt{a}}, \quad \psi(y) = \exp\left(\frac{1}{y}y - \exp(-y)\right)$$

とするとき、

$$h \sum_{m=-\infty}^{\infty} g(mh) - \int_{-\infty}^{\infty} g(y) dy = O\left(e^{-\frac{2\pi}{h}(\beta - \varepsilon)}\right), \quad (h \rightarrow 0),$$

ここで、 ε は任意の正数、

$$\beta = \min(1, \rho^*(\sqrt{a}w_1), \rho^*(\sqrt{a}w_2), \dots, \rho^*(\sqrt{a}w_N)),$$

この定理から、代数関数 $P(t)$ の特異点が、複素平面の右半面から離れてないときには、 $\int_0^\infty e^{-ax} f(x) dx$ は Lebesgue 公式を適用する場合に較べて $\int_0^\infty e^{-ax^2} f(x) dx$ は Lebesgue 公式を適用する方が収束が速いことが、理論的には、わかる。

次に、問題(iii)について考察する。新(Ⅲ)アリスムの場合、 $I(a) = \int_0^\infty e^{-ax^2} f(x) dx$ は、一般には、 $a=0$ の近傍で解析的ではない。例えば

$$I(a) = \int_0^\infty e^{-ax^2} \frac{\sin x}{\sqrt{x}} dx \quad \left(= \int_0^\infty e^{-a\xi^2} \frac{\sin \xi}{2\xi^{3/4}} d\xi\right)$$

$$= \frac{\pi}{2} \sqrt{\frac{1}{2a}} e^{-\frac{1}{8a}} I_{1/4}(1/8a), \quad I_\nu(z) \text{ は変形した Bessel 関数}$$

となり([7]), $a=0$ の近傍で解析的ではない。(しかし、

$$I(a) \sim \frac{1}{\sqrt{2}} \sum_{k=0}^{\infty} \frac{(-1)^k \Gamma(k+\frac{3}{4})}{k! \Gamma(-k+\frac{3}{4})} \cdot (4a)^k \quad (a \rightarrow 0)$$

と, $a \rightarrow 0$ で漸近展開可能であり, $I(a)$ は Richardson 補外が適用できることはわかる([7])。この例, $\int_0^\infty e^{-ax^2} \frac{\sin x}{\sqrt{x}} dx$, の $a \rightarrow 0$ での漸近展開可能性は, 次のようして一般化でき, この定理の条件を満足する場合, Richardson 補外が適用できることわかる。

定理 7

$f(x)$ は, 次の 2 つの条件を満足するとする。

(1) 次の Parseval の等式が成立するとする。

$$\int_0^\infty e^{-ax^2} f(x) dx = \int_0^\infty \mathcal{F}_c(\bar{e}^{-ax^2})(y) \cdot \mathcal{F}_c(f(x))(y) dy$$

但し, $\mathcal{F}_c(f(x))(y) \stackrel{\text{def}}{=} \sqrt{\frac{2}{\pi}} \int_0^\infty f(x) \cos(ay) dx$ とする。この積分は, $|y| < r$ で存在し, $|y| > r$ に対しては, a.e. y で存在するとする。

(2) $\mathcal{F}_c(f(x))(y)$ は, $|y| < r$ ($r > 0$) で正則であり, 次の級数展開で表すとする。

$$\mathcal{F}_c(f(x))(y) = d_0 + d_1 y^2 + d_2 y^4 + \dots$$

ここで, $\mathcal{F}_c(f(x))(y)$ は偏関数であることに注意せよ。

この時

$$\int_0^\infty \bar{e}^{-ax^2} f(x) dx \sim \frac{1}{\sqrt{2}} \sum_{k=0}^{\infty} \alpha_k \cdot \Gamma(k+\frac{1}{2}) \cdot 4^k \cdot a^k, \quad (a \rightarrow 0),$$

が成り立つ。

(証明)

次に Watson の補助定理を用いれば、

Watson の補助定理

 $f(t)$ は, $|t| < r$ ($r > 0$) で

$$f(t) = \alpha_0 + \alpha_1 t + \alpha_2 t^2 + \dots$$

と巾級数展開可能であるとし, $\int_0^\infty e^{-xt} f(t) dt < +\infty$ とする。

この時,

$$\int_0^\infty e^{-xt} t^\lambda f(t) dt \sim x^{\lambda-1} \sum_{k=0}^{\infty} \frac{\alpha_k \cdot \Gamma(\lambda+k+1)}{x^k}, \quad (x \rightarrow \infty)$$

但し, $\lambda > -1$.

(1), (2) から, 次の一連の評価を得る。

$$\begin{aligned} \int_0^\infty e^{-ax^2} f(x) dx &= \int_0^\infty \mathcal{F}_c(e^{-ax^2})(y) \cdot \mathcal{F}_c(f(x))(y) dy \\ &= \int_0^\infty \frac{1}{\sqrt{2a}} e^{-y^2/4a} \cdot \mathcal{F}_c(f(x))(y) dy \\ &= \int_0^\infty \frac{1}{\sqrt{2a}} e^{-\xi^2/4a} \cdot \frac{\mathcal{F}_c(f(x))(\sqrt{\xi})}{2\sqrt{\xi}} d\xi \\ &\sim \frac{1}{2\sqrt{2a}} \left(\sqrt{4a} \sum_{k=0}^{\infty} \alpha_k \cdot \Gamma(k+\frac{1}{2}) (4a)^k \right), \quad (a \rightarrow 0). \end{aligned}$$

$\left. \begin{array}{l} (\because T, \mathcal{F}_c(f(x))(\sqrt{\xi}) = \alpha_0 + \alpha_1 \xi + \alpha_2 \xi^2 + \dots \\ |\xi| < r^2 \text{ である} \therefore \text{を用いる。} \end{array} \right)$

$$= \frac{1}{\sqrt{2}} \sum_{k=0}^{\infty} \alpha_k \cdot \Gamma(k+\frac{1}{2}) \cdot 4^k \cdot a^k, \quad (a \rightarrow 0)$$

□

さらに定理7と定理6とを組み合わせると、便り易い次の事を得る。

系8

$f(t), P(t)$ は定理5に述べられた条件を満足するとして、 $\int_0^\infty f(t) \overline{P(t)} dt = 0$ は定理7にいう Parseval の等式を成立させるような函数であるとする。この時、 $\int_0^\infty e^{-at^2} f(t) dt$ は、 $a \rightarrow 0$ で漸近展開可能である。

(証明)

$\mathcal{F}_c(f(t))(y)$ が定理7の(2)の条件を満足すると言えばよい。Fourier変換の存在性から、 $\mathcal{F}_c(f(t))(y) = (I(iy) + I(-iy))/2$ が得られ、定理5から、この右辺は、 $|y| < 1$ で巾級数展開可能であるから、 $\mathcal{F}_c(f(t))(y)$ に対して(2)が成立する：これがわかる。

□

この系8における Parseval の等式の成立条件 (Fourier変換の存在条件も含めて) は、文献 [6], [7] にみるよしに実用上は、ほとんど考慮する必要がないと思われるが、新しくアリスームは、定理6の成立も考慮に入れるなど、戸田・小野のアリスームへと、実用上、同じ種分問題に適用可能である。

6. 数値実験を通じての、戸田・小野による方法と、新しい方法の比較

Rabinowitz が提出した積分の例題を変数変換して得られた無限積分 ([8])

$$\int_0^\infty \frac{\sin(x+1)}{(x+1)^2} dx$$

K, テ田・小野による方法と, 新しい方法を適用して結果を表 1, 表 2 に示す. この積分に対しては, 両方法とも適用可能であることが, 一連の定理からわかることに注意せよ. なお, 積分は, 区間 [-6.0, 6.0] で谷形則を適用して計算した.

この結果からわかるように, 新しい方法が, 非常に有効である. 他の例についても, 同様の結果が得られる(これに示すことは統計的関係ではないが), 新しい方法が有効であることがわかる.

7. 結論

DE 変換公式と補外法を用いて, 半無限区间における振動的関数を計算する場合には, 積分問題が一連の定理。条件を満足することを確かめ, 次の (1), (2) に従って積分値を求めねばよい.

$$(1) I(a_n) = \int_0^\infty e^{-a_n x^2} f(x) dx = \int_0^\infty \frac{1}{\sqrt{a_n}} e^{-\frac{x^2}{a_n}} f(\frac{x}{\sqrt{a_n}}) dx, a_n = \frac{1}{2n} (n=0, 1, \dots, N)$$

K-DE 変換公式を適用して, $I(a_n)$ を計算する.

(2) $I(a_0), I(a_1), \dots, I(a_N)$ を Richardson 補外を適用し, $I(a_0) \rightarrow I(0)$ の加速を行ない, $I(0)$ の近似値を求める.

表1. $\int_0^\infty \frac{\sin(x+1)}{(x+1)^2} dx$ K 戸田・木戸の方法を適用した時の

数值実験結果

(DE 变換式を用ひて, $\int_0^\infty e^{-t} f(\frac{t}{\alpha}) \frac{dt}{\alpha}$)
(α 計算の結果)

$\frac{1}{\alpha_0} = 1.0$ 節数 数値積分結果

17 0.35478211684333543868249741591
33 0.354781894443638178432177581654
65 0.354781894443810587883962706660
129 0.354781894443810587883962944575
257 0.354781894443810587883962944575 = $I(\alpha_0)$

$\frac{1}{\alpha_1} = 2.0$

17 0.429091491198479330290623041078
33 0.429057209604368276980485174116
65 0.429057211715126732958673541657
129 0.429057211715126582679288702474
257 0.429057211715126582679288702472 = $I(\alpha_1)$

4.0

33 0.468925893913739555207242304354
65 0.468932374221528017351629476734
129 0.468932374945247574152284277851
257 0.468932374945247599263923857075
513 0.468932374945247599263923857075

8.0

65 0.487567978295816646458040777695
129 0.487565006169355790379424681212
257 0.487565006066978468330800550079
513 0.487565006066978463191140710568
1025 0.487565006066978463191140710568

16.0

129 0.496148236555294288046654280621
257 0.496148738303813198202714440286
513 0.496148738221497182257499608835
1025 0.496148738221497183287165885881
2049 0.496148738221497183287165885881

32.0

257 0.500199592898337852400210208393
513 0.500199558234023232314364747673
1025 0.500199558205335662402948353086
2049 0.500199558205335662889079330625
4097 0.500199558205335662889079330625

64.0

513 0.502157173717272587302927212201
1025 0.502157285211103350354714189354
2049 0.502157285209260977958682047112
4097 0.502157285209260978060798307602
8193 0.502157285209260978060798307601

128.0

1025 0.503118296135511190709511252701
2049 0.503118299564434868636859869167
4097 0.503118299568252470533712474903
8193 0.503118299568252470523539669251
16385 0.503118299568252470523539669251

256.0

2049 0.503594212717766376039989580139
4097 0.503594228734730840020135721490
8193 0.503594228733553668850795883841
16385 0.503594228733553668869421804031
32769 0.503594228733553668869421804031

512.0

4097 0.503831037286472097044938536316
8193 0.503831034378507532982127042626
16385 0.503831034378383951405061284673
32769 0.503831034378383951406624858295
65537 0.503831034378383951406624858295

($I(\alpha_0) \sim I(\alpha_9)$ に Richardson)
(補外を施した時の結果)

* 下線部まで真値(数値的)
れて一致している。

表2. $\int_0^{\infty} \frac{\sin(x+1)}{(x+1)^2} dx$ を新しい方法を適用した時の

数値実験結果	
$(DE$ 条件式を用いて $\int_0^{\infty} e^{-t^2} f(\sqrt{ta_n}) \frac{dt}{\sqrt{a_n}}$)	
$\frac{1}{a_n} = 16.0$ 航数	計算した結果
	数値積分結果
9	0.516096156450331814580492370724
17	0.516367163771402106686551832807
33	0.516367154787263423888392997323
65	0.516367154787263409022783019385
129	0.516367154787263409022783019385 = $I(a_n)$
$\frac{1}{a_n} = 32.0$	(補外を施した時の結果)
9	0.517286919187481805110940607772
17	0.51055472518139899372600899906
33	0.510555161862477455425076785967
65	0.510555161862477578363284380522
129	0.510555161862477578363284380522 = $I(a_n)$
64.0	($I(a_0) \sim I(a_n)$ v. Richardson)
9	0.492903907709034796359867720633
17	0.507285197490050699174082460510
33	0.507296849421665007753110407302
65	0.507296849421828423856913542362
129	0.507296849421828423856913542366
128.0	下線部まで真値と一致
9	0.469935919122522291461077095722
17	0.505309230883257541383942012025
33	0.505675818074325356296044884405
65	0.505675818220759464188776514715
129	0.505675818220759464188776434603
256.0	12.3
17	0.498519295575467129316797996779
33	0.504869658994550589163307003325
65	0.504869783284350616646893485599
129	0.504869783284350616683406667435
257	0.504869783284350616683406667435
512.0	($I(a_0) \sim I(a_n)$ v. Richardson)
17	0.502757924863026962110587583148
33	0.504496498959719761072494106342
65	0.50446799674363551322556036855
129	0.504467996743724416919579153171
257	0.504467996743724416919579153171
1024.0	下線部まで真値と一致
17	0.56594849242355054302311884004
33	0.501771608533805578281126909639
65	0.504267425963595357900990798601
129	0.504267421575626908756112232957
257	0.504267421575626908756112204040
2048.0	12.3
33	0.491844131229058480053368596959
65	0.504182785093730745962759833754
129	0.504167214652443334457988658654
257	0.504167214652443330408993871624
513	0.504167214652443330408993871624
4096.0	($I(a_0) \sim I(a_n)$ v. Richardson)
33	0.511653308932451950412211095792
65	0.505047261965715086177025544759
129	0.504117130339418660154126988448
257	0.504117131489107701232965184011
513	0.504117131489107701232965184010
8192.0	下線部まで真値と一致
65	0.504981835891896652288979714775
129	0.504088758984631207400450032305
257	0.50409209499811138616225764918
513	0.50409209499811134253707035465
1025	0.50409209499811134253707035465
16384.0	下線部まで真値と一致
65	0.494288066851982605285805259395
129	0.504338458751593954942823668249
257	0.50407957737582517763899454270
513	0.504079578027262317511955376007
1025	0.504079578027262317511955376007

参考文献

- [1] H. Takahasi and M. Mori: Double exponential formulas for numerical integration. Publ. RIMS, Vol. 9 (1975), pp. 721-741.
- [2] 宇田英雄, 小野今美: Double Exponential 变換数值積分公式の有効性と發揮方法の注意. 京都大学数理解析研究所講究録, No. 339 (1978), pp. 74-109.
- [3] D.V. Widder: The Laplace Transform. Princeton Univ. Press, 1941.
- [4] P. Henrici: Applied and Computational Complex Analysis, Vol. II. John Wiley & Sons, 1977.
- [5] A. Zygmund: Trigonometric Series, Vol. I, Vol. II. Cambridge Univ. Press, 1959.
- [6] E. C. Titchmarsh: Introduction to the Theory of Fourier Integrals. Oxford Univ. Press, 1937.
- [7] 素口繁一, 宇田川金久, 一松信: 数学公式 I, II, III. 崇波書店, 1957.
- [8] H. Toda and H. Ono: Notes on effective usage of double exponential formulas for numerical integration. 京都大学数理解析研究所講究録, No. 401 (1980), pp. 21-47.